

01;07;12

## Затухание мод микроструктурных оптических волокон с поглощающими покрытиями

© А.Б. Сотский,<sup>1</sup> Л.И. Сотская,<sup>2</sup> В.П. Минкович,<sup>3</sup> D. Monzon-Hernandez<sup>3</sup><sup>1</sup> Могилевский государственный университет им. А.А. Кулешова,  
212022 Могилев, Белоруссия<sup>2</sup> Белорусско-Российский университет,  
212005 Могилев, Белоруссия<sup>3</sup> Centro de Investigaciones en Optica,  
37150 Leon, Mexico  
e-mail: ab\_sotsky@mail.ru

(Поступило в Редакцию 16 июня 2008 г.)

Теоретически и экспериментально исследованы характеристики вытекающих мод фотонно-кристаллических волокон с поглощающими покрытиями конечной толщины. Показано, что при стабильной толщине покрытия для данных волокон характерен квазипериодический спектр пропускания. Его период и глубина модуляции определяются эффектом резонансной связи мод волокна и покрытия. Поскольку постоянные распространения мод покрытия чувствительны к параметрам окружающей среды, обнаруженный эффект перспективен для сенсорных приложений.

PACS: 42.81.Dр, 42.81.Qб, 42.82.Еt

### Введение

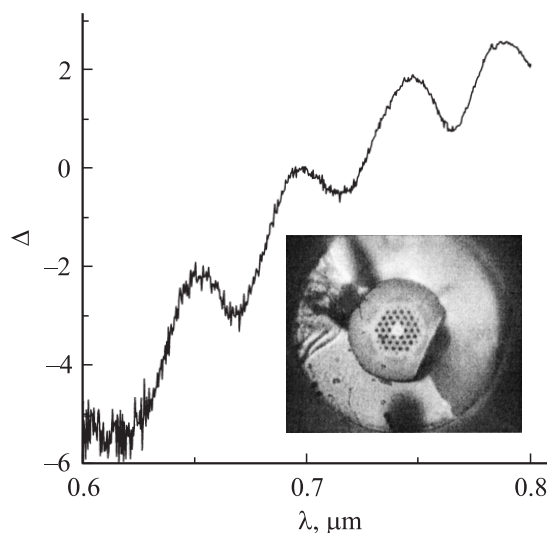
Ныне интенсивно исследуются микроструктурные оптические волокна (МОВ), волноведущие области которых образованы наборами микроскопических воздушных каналов в диэлектрической среде (оболочке волокна). Хорошо известно, что моды таких волокон вытекают из волноводного канала [1,2]. В результате они могут взаимодействовать с покрытием волокна, которое обычно изготавливается из поглощающего материала с увеличенным относительно оболочки показателем преломления (стандартные функции покрытия состоят в придании механической прочности волокну и фильтрации мод оболочки).

В настоящей работе анализируются эффекты, связанные с таким взаимодействием. В частности, показано, что МОВ с поглощающим покрытием конечной толщины может иметь квазипериодический спектр пропускания. Характеристики этого спектра определяются резонансной связью основной моды МОВ с вытекающими модами покрытия и зависят от параметров покрытия.

Следует отметить, что свойства вытекающих мод МОВ рассматривались в ряде работ [1–6]. Однако использованные при этом методы расчета не позволяли исследовать МОВ с покрытиями конечной толщины. В настоящей работе это ограничение устранено путем обобщения строгого метода интегральных уравнений, предложенного ранее в [4,5].

Стимулом к проведению исследования послужили экспериментальные данные. До сих пор эффект квазипериодичности в спектрах пропускания, перспективный для ряда приложений в сенсорных и телекоммуникационных системах [7], наблюдался в изогнутых МОВ и в МОВ, содержащих тейпер, получаемый в результате

локального разогрева и растяжения волокна [8,9]. Однако, как показали наши эксперименты, данный эффект может иметь место и в продольно-регулярных МОВ. Он иллюстрируется на рис. 1, где  $\Delta(\lambda) = 10 \log_{10}[I(\lambda)I_0^{-1}]$ ,  $I(\lambda)$  — интенсивность излучения с длиной волны  $\lambda$  на выходе волокна,  $I_0 = I(0.7 \mu\text{m})$ . Представленная кривая получена при исследовании МОВ, изготовленного по технологии, описанной в [10]. Волноведущая область данного волокна образована тремя гексагональными кольцами воздушных каналов в кварцевой оболочке (рис. 1). Средние радиус сечения каналов и расстояние между центрами соседних каналов равны  $a = 1.43 \mu\text{m}$  и



**Рис. 1.** Экспериментальный спектр пропускания МОВ с поглощающим полимерным покрытием. На вставке — фотография скола данного МОВ.

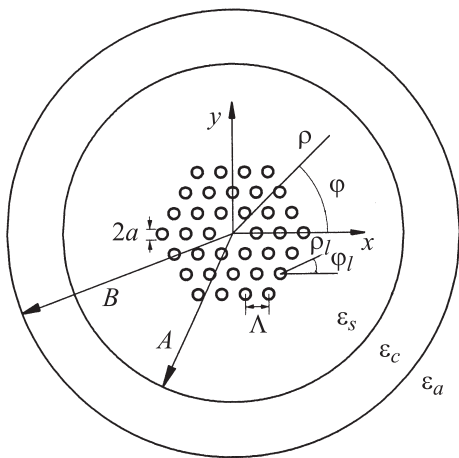
$\Lambda = 8.54 \mu\text{m}$  соответственно. На оболочку МОВ радиуса  $A = 61.5 \mu\text{m}$  нанесено поглощающее полимерное покрытие со средней толщиной  $67.5 \mu\text{m}$ .

Зависимость на рис. 1 получена при возбуждении прямолинейного отрезка описанного волокна длиной  $L = 1845 \text{ mm}$  пучком белого света, сфокусированным на торец волокна. Волокно находилось в воздушном окружении. Спектр излучения на его выходе анализировался при помощи монохроматора с разрешением  $0.5 \text{ nm}$ . Из рис. 1 видна квазипериодичность пропускания волокна в зависимости от длины волны излучения. Можно предположить, что такой характер пропускания связан с взаимодействием вытекающих мод МОВ с покрытием волокна, поскольку иная их интерпретация затруднительна.

## Теоретическая модель

Сформулируем метод расчета модовых характеристик МОВ с покрытиями конечной толщины. Поперечное сечение рассматриваемых волокон представлено на рис. 2. Оно содержит  $n$  круговых включений в круговой оболочке радиуса  $A$ . Радиус и диэлектрическая проницаемость  $l$ -го включения равны  $a_l$  и  $\varepsilon_l$  соответственно. Проницаемость оболочки равна  $\varepsilon_s$ . В области  $A < \rho < B$  находится покрытие волокна. Оно имеет проницаемость  $\varepsilon_c$ . Волокно окружено однородной средой с проницаемостью  $\varepsilon_a$ . Величины  $\varepsilon_l$  ( $l = \overline{1, n}$ ),  $\varepsilon_c$  и  $\varepsilon_a$  предполагаются комплексными. В дальнейшем будем использовать глобальные декартовы координаты  $x, y$  с началом отсчета в геометрическом центре волокна, глобальные полярные координаты  $\rho, \varphi$  и локальные полярные координаты  $\rho_l, \varphi_l$ , в которых значение  $\rho_l = 0$  соответствует центру  $l$ -го включения (рис. 2).

Пусть зависимость оптического поля от времени  $t$  и продольной координаты  $z$  описывается множителем  $\exp[i(\omega t - \beta z)]$ , где  $\beta$  — комплексная постоянная распространения моды. Тогда поперечные компоненты маг-



**Рис. 2.** Поперечное сечение микроструктурного оптического волокна с покрытием.

нитного поля моды  $H_j$  ( $j = x, y$ ) будут удовлетворять интегральным уравнениям [5]

$$H_j(x, y) = \frac{i}{4} \int_{-\infty}^{\infty} dx' \int_{-\infty}^{\infty} H_0^{(2)}(\chi_s r) f_j(x', y') dy'. \quad (1)$$

Здесь  $H_0^{(2)}(\chi_s r)$  — функция Ханкеля,  $\chi_s = \sqrt{k_0^2 \varepsilon_s - \beta^2}$  ( $\text{Re } \chi_s > 0$ , если  $\text{Re}(k_0^2 \varepsilon_s - \beta^2) > 0$ ,  $\text{Im } \chi_s < 0$ , если  $\text{Re}(k_0^2 \varepsilon_s - \beta^2) < 0$ ),  $k_0 = \lambda^{-1} 2\pi$  — волновое число вакуума,  $r = \sqrt{(x' - x)^2 + (y' - y)^2}$ ,

$$f_j(x, y) = E \frac{\partial \varepsilon}{\partial \xi_j} - k_0^2 \Delta \varepsilon H_j, \quad (2)$$

$$E = \varepsilon^{-1} (\nabla_x H_y - \nabla_y H_x), \quad (3)$$

$\xi_x = -y$ ,  $\xi_y = x$ ,  $\Delta \varepsilon = \varepsilon(x, y) - \varepsilon_s$ ,  $\varepsilon(x, y)$  — диэлектрическая проницаемость пространства. Поскольку функции  $f_j(x, y)$  отличны от нуля только внутри включений, в покрытии волокна и в окружающей волокно среде, в данных областях соотношения (1) представляют собой строгие интегральные уравнения, а вне этих областей они являются прямыми расчетными формулами.

С целью алгебраизации уравнений (1) определим базисы для представлений функций  $H_j(x, y)$ . Внутри включений и в окружающей волокно среде функции  $H_j(x, y)$  могут быть записаны в виде рядов по цилиндрическим функциям [5]

$$H_j = \sum_{v=-\infty}^{\infty} A_{lv}^{(j)} J_v(\chi_l \rho_l) \exp(iv\varphi_l) \quad (\rho_l \leq a_l), \quad (4)$$

$$H_j = \sum_{v=-\infty}^{\infty} C_v^{(j)} H_v^{(2)}(\chi_a \rho) \exp(iv\varphi) \quad (\rho \geq B), \quad (5)$$

где  $A_{lv}^{(j)}, C_v^{(j)}$  — неизвестные коэффициенты,  $\chi_l = \sqrt{k_0^2 \varepsilon_l - \beta^2}$ ,  $\chi_a = \sqrt{k_0^2 \varepsilon_a - \beta^2}$  ( $\text{Im } \chi_a < 0$  для собственных мод,  $\text{Re } \chi_a > 0$  для мод, вытекающих в окружающую среду). В покрытии волокна функции  $H_j(x, y)$  должны удовлетворять уравнению Гельмгольца

$$(\nabla_x^2 + \nabla_y^2 + \chi_c^2) H_j = 0,$$

где  $\chi_c = \sqrt{k_0^2 \varepsilon_c - \beta^2}$ . Общее решение этого уравнения зададим в форме

$$H_j = \sum_{v=-\infty}^{\infty} [B_{1v}^{(j)} J_v(\chi_c \rho) + B_{2v}^{(j)} H_v^{(2)}(\chi_c \rho)] \exp(iv\varphi), \quad (6)$$

где  $B_{1v}^{(j)}$  и  $B_{2v}^{(j)}$  — неизвестные коэффициенты.

Запишем уравнения (1) в виде

$$H_x + (-1)^p i H_y = I_p + I_{sc}^{(p)} + I_{ca}^{(p)} + \sum_{l=1}^n \Omega_p^{(l)}, \quad (7)$$

где  $p$  принимает значения 0 и 1. Слагаемые  $\Omega_p^{(l)}$  в (7) представляют собой результат интегрирования правых

частей уравнений (1) по области  $l$ -го включения. Согласно [3],

$$\Omega_p^{(l)} = H_x + (-1)^p i H_y + \sum_{\nu=-\infty}^{\infty} J_\nu(\chi_s \rho_l) \exp(i\nu \varphi_l) \times [R_{lv}^{1p} \bar{A}_{lv}^{(p)} + R_{lv}^{2p} \bar{A}_{lv+\sigma}^{(q)}] \quad \text{при } \rho_l < a_l, \quad (8)$$

$$\Omega_p^{(l)} = \sum_{\nu=-\infty}^{\infty} H_\nu^{(2)}(\chi_s \rho_l) \exp(i\nu \varphi_l) [S_{lv}^{1p} \bar{A}_{lv}^{(p)} + S_{lv}^{2p} \bar{A}_{lv+\sigma}^{(q)}] \quad \text{при } \rho_l > a_l \quad (9)$$

где

$$R_{lv}^{10} = K_l \left\{ [\varepsilon_s \varepsilon_l^{-1} J_{\nu-1}(\chi_l a_l) - J_{\nu+1}(\chi_l a_l)] H_\nu^{(2)}(\chi_s a_l) - \chi_s \chi_l^{-1} [H_{\nu-1}(\chi_s a_l) - H_{\nu+1}(\chi_s a_l)] J_\nu(\chi_l a_l) \right\},$$

$$R_{lv}^{20} = K_l (\varepsilon_s \varepsilon_l^{-1} - 1) H_\nu^{(2)}(\chi_s a_l) J_{\nu-1}(\chi_l a_l),$$

$$R_{lv}^{k1} = R_{lv}^{k0} + 0.5 i \pi \nu (1 - \varepsilon_s \varepsilon_l^{-1}) H_\nu^{(2)}(\chi_s a_l) J_\nu(\chi_l a_l),$$

$$S_{lv}^{kp} = [H_\nu^{(2)}(\chi_s a_l)]^{-1} [J_\nu(\chi_s a_l) R_{lv}^{kp} + (2 - k) J_\nu(\chi_l a_l)],$$

$$K_l = 0.25 i \pi a_l \chi_l, \quad \bar{A}_{lv}^{(p)} = A_{lv}^{(x)} + (-1)^p i A_{lv}^{(y)},$$

$$q = 1 - p, \quad \sigma = 2(p - q).$$

Величины

$$I_{sc}^{(p)} = 0.25 A (-1)^p (\varepsilon_s - \varepsilon_c) \times \int_0^{2\pi} \exp[i(-1)^p \varphi'] [H_0^{(2)}(\chi_s r) E]_{\rho'=A} d\varphi', \quad (10)$$

$$I_{ca}^{(p)} = 0.25 B (-1)^p (\varepsilon_c - \varepsilon_a) \times \int_0^{2\pi} \exp[i(-1)^p \varphi'] [H_0^{(2)}(\chi_s r) E]_{\rho'=B} d\varphi', \quad (11)$$

появились в (7) после интегрирования дельта-функций Дирака, которыми в (2) представляются производные ступенчатой функции  $\varepsilon(x', y')$ . Здесь

$$x = \rho \cos \varphi, \quad y = \rho \sin \varphi, \quad x' = \rho \cos \varphi', \quad y' = \rho \sin \varphi'$$

и в силу (3), (5), (6)

$$E(A, \varphi') = -0.5 i \chi_c \varepsilon_c^{-1} \sum_{\nu=-\infty}^{\infty} \left\{ \exp[i(\nu - 1)\varphi'] \times [\bar{B}_{1\nu}^{(0)} J_{\nu-1}(\chi_c A) + \bar{B}_{2\nu}^{(0)} H_{\nu-1}^{(2)}(\chi_c A)] + \exp[i(\nu + 1)\varphi'] \times [\bar{B}_{1\nu}^{(1)} J_{\nu+1}(\chi_c A) + \bar{B}_{2\nu}^{(1)} H_{\nu+1}^{(2)}(\chi_c A)] \right\}, \quad (12)$$

$$E(B, \varphi') = -0.5 i \chi_a \varepsilon_a^{-1} \times \sum_{\nu=-\infty}^{\infty} \left\{ \exp[i(\nu - 1)\varphi'] H_{\nu-1}^{(2)}(\chi_a B) \bar{C}_\nu^{(0)} + \exp[i(\nu + 1)\varphi'] H_{\nu+1}^{(2)}(\chi_a B) \bar{C}_\nu^{(1)} \right\}, \quad (13)$$

где

$$\bar{B}_{j\nu}^{(p)} = B_{j\nu}^{(x)} + (-1)^p i B_{j\nu}^{(y)}, \quad \bar{C}_\nu^{(p)} = C_\nu^{(x)} + (-1)^p i C_\nu^{(y)}.$$

Фигурирующий в (7) интеграл

$$I_p = -0.25 i k_0^2 \iint_{\rho' > A} \Delta \varepsilon H_0^{(2)}(\chi_s r) [H_x + (-1)^p i H_y] dx' dy'$$

с использованием теоремы Грина (подробно подобные выкладки описаны в [5]) может быть представлен в форме

$$I_p = \frac{1}{4i} \int_0^{2\pi} \left\{ A \left[ H_0^{(2)}(\chi_s r) \frac{\partial}{\partial \rho'} h_p \right] \Big|_{\rho'=A-0}^{\rho'=A+0} + B \left[ H_0^{(2)}(\chi_s r) \frac{\partial}{\partial \rho'} h_p \right] \Big|_{\rho'=B-0}^{\rho'=B+0} \right\} d\varphi', \quad (14)$$

где

$$h_p(\rho', \varphi') =$$

$$\begin{cases} H_x + (-1)^p i H_y & \text{при } \rho' \geq A, \\ \sum_{\nu=-\infty}^{\infty} \exp(i\nu \varphi') J_\nu(\chi_s \rho') [J_\nu(\chi_s A)]^{-1} \times \\ \times [\bar{B}_{1\nu}^{(p)} J_\nu(\chi_c A) + \bar{B}_{2\nu}^{(p)} H_\nu^{(2)}(\chi_c A)] & \text{при } \rho' \leq A. \end{cases} \quad (15)$$

Приняв во внимание представление функции Ханкеля [11]

$$H_0^{(2)}(\chi_s r) = \sum_{\nu=-\infty}^{\infty} \exp[i\nu(\varphi - \varphi')] \times \begin{cases} H_\nu^{(2)}(\chi_s \rho') J_\nu(\chi_s \rho) & \text{при } \rho < \rho', \\ J_\nu(\chi_s \rho') H_\nu^{(2)}(\chi_s \rho) & \text{при } \rho > \rho' \end{cases} \quad (16)$$

и перейдя в (9) к глобальным полярным координатам на основании теоремы сложения цилиндрических функций Графа [11], заключаем, что в области  $\rho > A$  уравнения (7) эквивалентны записи

$$\delta H_p(\rho, \varphi) = 0, \quad (17)$$

где

$$\delta H_p = \sum_{\nu=-\infty}^{\infty} [U_\nu^{(p)} H_\nu^{(2)}(\chi_s \rho) + V_\nu^{(p)} J_\nu(\chi_s \rho)] \exp(i\nu \varphi) \quad \text{при } A < \rho < B, \quad (18)$$

$$\delta H_p = \sum_{\nu=-\infty}^{\infty} \left\{ U_{\nu}^{(p)} + V_{\nu}^{(p)} J_{\nu}(\chi_s B) [H_{\nu}^{(2)}(\chi_s B)]^{-1} \right\} \\ \times H_{\nu}^{(2)}(\chi_s \rho) \exp(i\nu\varphi) \quad \text{при } \rho > B, \quad (19)$$

$$U_{\nu}^{(p)} = D_{\nu}^{(p)} + \frac{A J_{\nu}(\chi_s A)}{4} \int_0^{2\pi} \left\{ (-1)^{p+1} (\varepsilon_c - \varepsilon_s) \right. \\ \left. \times \exp[i(-1)^p \varphi'] E(A, \varphi') - i \frac{\partial}{\partial \rho'} h_p \Big|_{\rho'=A-0}^{\rho'=A+0} \right\} \\ \times \exp(-i\nu\varphi') d\varphi', \quad (20)$$

$$V_{\nu}^{(p)} = \frac{B H_{\nu}^{(2)}(\chi_s B)}{4} \int_0^{2\pi} \left\{ (-1)^{p+1} (\varepsilon_a - \varepsilon_c) \right. \\ \left. \times \exp[i(-1)^p \varphi'] E(B, \varphi') - i \frac{\partial}{\partial \rho'} h_p \Big|_{\rho'=B-0}^{\rho'=B+0} \right\} \\ \times \exp(-i\nu\varphi') d\varphi', \quad (21)$$

$$D_{\nu}^{(p)} = \sum_{\mu=-\infty}^{\infty} (-1)^{\mu-\nu} \sum_{l=1}^n (F_{\mu-\nu}^{(l)} S_{l\mu}^{1p} \bar{A}_{l\mu}^{(p)} \\ + F_{\mu-\nu-\sigma}^{(l)} S_{l\mu-\sigma}^{2p} \bar{A}_{l\mu}^{(q)}), \quad (22)$$

$$F_{\nu}^{(l)} = J_{\nu}(\chi_s \rho^{(l)}) \exp(i\nu\varphi^{(l)}),$$

$\rho^{(l)}$  и  $\varphi^{(l)}$  — глобальные полярные координаты центра  $l$ -го включения. Как следует из (17)–(19),

$$V_{\nu}^{(p)} = 0, \quad (23)$$

$$U_{\nu}^{(p)} = 0. \quad (24)$$

После подстановки в (21) выражений (12), (13), (15) и интегрирования по угловой переменной  $\varphi'$  заключаем, что уравнения (23) обращаются в тождества при условии, что

$$\bar{B}_{kv}^{(p)} = Q_{pv}^{k11} \bar{C}_v^{(p)} + Q_{pv}^{k21} \bar{C}_{v+\sigma}^{(q)}, \quad (25)$$

где

$$Q_{0v}^{111} = K_B \left\{ \chi_c \chi_a^{-1} H_{\nu}^{(2)}(\chi_a B) [H_{\nu-1}^{(2)}(\chi_c B) - H_{\nu+1}^{(2)}(\chi_c B)] \right. \\ \left. - H_{\nu}^{(2)}(\chi_c B) [\varepsilon_c \varepsilon_a^{-1} H_{\nu-1}^{(2)}(\chi_a B) - H_{\nu+1}^{(2)}(\chi_a B)] \right\},$$

$$Q_{0v}^{211} = K_B \left\{ J_{\nu}(\chi_c B) [\varepsilon_c \varepsilon_a^{-1} H_{\nu-1}^{(2)}(\chi_a B) - H_{\nu+1}^{(2)}(\chi_a B)] \right. \\ \left. - \chi_c \chi_a^{-1} H_{\nu}^{(2)}(\chi_a B) [J_{\nu-1}(\chi_c B) - J_{\nu+1}(\chi_c B)] \right\},$$

$$Q_{0v}^{121} = K_B (1 - \varepsilon_c \varepsilon_a^{-1}) H_{\nu-1}^{(2)}(\chi_a B) H_{\nu}^{(2)}(\chi_c B),$$

$$Q_{0v}^{221} = K_B (1 - \varepsilon_c \varepsilon_a^{-1}) H_{\nu-1}^{(2)}(\chi_a B) J_{\nu}(\chi_c B),$$

$$Q_{1v}^{1k1} = Q_{0v}^{1k1} - 0.5i\pi\nu(1 - \varepsilon_c \varepsilon_a^{-1}) H_{\nu}^{(2)}(\chi_c B) H_{\nu}^{(2)}(\chi_a B),$$

$$Q_{1v}^{2k1} = Q_{0v}^{2k1} - 0.5i\pi\nu(1 - \varepsilon_c \varepsilon_a^{-1}) J_{\nu}(\chi_c B) H_{\nu}^{(2)}(\chi_a B),$$

$$K_B = 0.25i\pi\chi_a B.$$

Из (6), (12), (15), (20), (25) находим

$$U_{\nu}^{(p)} = D_{\nu}^{(p)} + L_{1\nu}^{(p)} \bar{C}_v^{(p)} + L_{2\nu}^{(p)} \bar{C}_{v+\sigma}^{(q)}, \quad (26)$$

где

$$L_{kv}^{(p)} = Q_{pv}^{1k1} Q_{pv}^{112} + Q_{pv}^{2k1} Q_{pv}^{212} + Q_{pv+\sigma}^{1/11} Q_{pv}^{122} + Q_{qv+\sigma}^{2/11} Q_{pv}^{222} \\ (l = k + (-1)^{k-1}),$$

$$Q_{0v}^{112} = K_A \left\{ \chi_s \chi_c^{-1} J_{\nu}(\chi_c A) [J_{\nu-1}(\chi_s A) - J_{\nu+1}(\chi_s A)] \right. \\ \left. - J_{\nu}(\chi_s A) [\varepsilon_s \varepsilon_c^{-1} J_{\nu-1}(\chi_c A) - J_{\nu+1}(\chi_c A)] \right\},$$

$$Q_{0v}^{212} = K_A \left\{ \chi_s \chi_c^{-1} H_{\nu}^{(2)}(\chi_c A) [J_{\nu-1}(\chi_s A) - J_{\nu+1}(\chi_s A)] \right. \\ \left. - J_{\nu}(\chi_s A) [\varepsilon_s \varepsilon_c^{-1} H_{\nu-1}^{(2)}(\chi_c A) - H_{\nu+1}^{(2)}(\chi_c A)] \right\},$$

$$Q_{0v}^{122} = K_A (1 - \varepsilon_s \varepsilon_c^{-1}) J_{\nu-1}(\chi_c A) J_{\nu}(\chi_s A),$$

$$Q_{0v}^{222} = K_A (1 - \varepsilon_s \varepsilon_c^{-1}) H_{\nu-1}^{(2)}(\chi_c A) J_{\nu}(\chi_s A),$$

$$Q_{1v}^{1k2} = Q_{0v}^{1k2} - 0.5i\pi\nu(1 - \varepsilon_s \varepsilon_c^{-1}) J_{\nu}(\chi_c A) J_{\nu}(\chi_s A),$$

$$Q_{1v}^{2k2} = Q_{0v}^{2k2} - 0.5i\pi\nu(1 - \varepsilon_s \varepsilon_c^{-1}) H_{\nu}^{(2)}(\chi_c A) J_{\nu}(\chi_s A),$$

$$K_A = 0.25i\pi\chi_c A.$$

Как следует из (10), (14), (23), (26), в области  $\rho < A$  уравнения (7) имеют вид

$$H_x + (-1)^p i H_y - \sum_{l=1}^n \Omega_p^{(l)} \\ = \sum_{\nu=-\infty}^{\infty} [T_{1\nu}^{(p)} \bar{C}_v^{(p)} + T_{2\nu}^{(p)} \bar{C}_{v+\sigma}^{(q)}] J_{\nu}(\chi_s \rho) \exp(i\nu\varphi), \quad (27)$$

где

$$T_{kv}^{(p)} = [J_{\nu}(\chi_s A)]^{-1} [Q_{pv}^{1k1} J_{\nu}(\chi_c A) + Q_{pv}^{2k1} H_{\nu}^{(2)}(\chi_c A) \\ + L_{kv}^{(p)} H_{\nu}^{(2)}(\chi_s A)].$$

После поочередного приведения ряда в правой части (27) к локальным координатам включений на основании теоремы Графа уравнения (27) в области  $\rho_l < a_l$  сводятся к соотношениям

$$\sum_{\nu=-\infty}^{\infty} W_{l\nu}^{(p)} J_{\nu}(\chi_s \rho_l) \exp(i\nu\varphi_l) = 0,$$

эквивалентным

$$W_{l\nu}^{(p)} = 0, \quad (28)$$

где  $l = \overline{1, n}$ ;

$$\begin{aligned}
 W_{lv}^{(p)} = & R_{lv}^{1p} \bar{A}_{lv}^{(p)} + R_{lv}^{2p} \bar{A}_{lv+\sigma}^{(q)} + \sum_{\mu=-\infty}^{\infty} \left[ F_{\mu-v}^{(l)} T_{1\mu}^{(p)} \bar{C}_{\mu}^{(p)} \right. \\
 & + F_{\mu-v-\sigma}^{(l)} T_{2\mu-\sigma}^{(p)} \bar{C}_{\mu}^{(q)} + \sum_{k \neq l} (G_{\mu-v}^{lk} S_{k\mu}^{1p} \bar{A}_{k\mu}^{(p)} \\
 & \left. + G_{\mu-v-\sigma}^{lk} S_{k\mu-\sigma}^{2p} \bar{A}_{k\mu}^{(q)}) \right], \quad (29) \\
 G_v^{lk} = & H_{-v}^{(2)}(\chi_s \rho_{lk}) \exp(iv\phi_{lk}),
 \end{aligned}$$

$\rho_{lk}$  и  $\phi_{lk}$  — полярные координаты центра  $k$ -го включения в локальной системе координат  $l$ -го включения.

Согласно (22), (26), (29), уравнения (24) и (28) образуют бесконечную однородную алгебраическую систему, которая в матричной форме может быть записана как

$$MX = 0, \quad (30)$$

где  $X$  является вектором, составленным из неизвестных коэффициентов  $\bar{A}_{lv}^{(p)}$  и  $\bar{C}_v^{(p)}$ . Можно показать, что в частных случаях МОВ с бесконечной однородной оболочкой и МОВ с покрытием бесконечной толщины система уравнений (30) переходит в известные системы, полученные ранее в [3,5].

Для практического решения системы (30) в рядах (4)–(6) следует удерживать только члены с номерами  $|v| < m$ , что эквивалентно интегрированию уравнений (7) методом квадратур [12]. В этом случае размерность матрицы  $M$  равна  $N \times N$ , где  $N = 2(n+1)(2m+1)$ . Значение комплексной постоянной распространения моды  $\beta$  может быть найдено из уравнения  $\det M = 0$ . Последующий расчет поля моды на основании (4)–(6), (25), (27) и уравнений Максвелла

$$H_z = (i\beta)^{-1}(\nabla_x H_x + \nabla_y H_y), \quad \mathbf{E} = (i\omega\epsilon)^{-1} \nabla \times \mathbf{H}$$

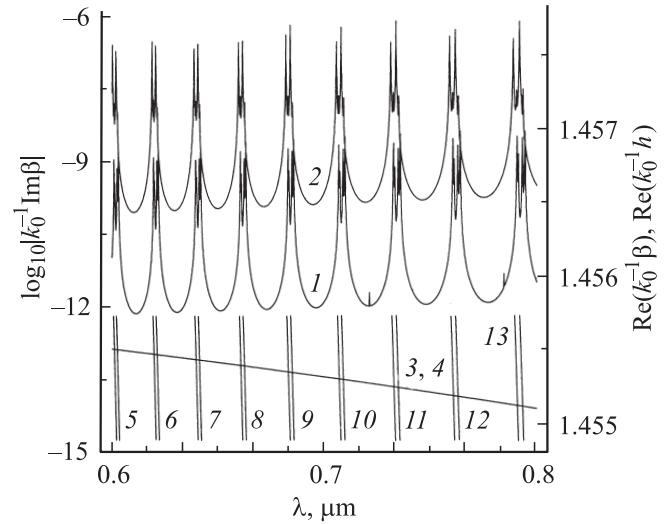
не вызывает затруднений.

Примеры реализации описанного метода представлены в нижеследующих разделах.

### Расчет МОВ с поглощающими покрытиями

Предположим, что выполнено условие  $\text{Re}(k_0^2 \epsilon_a - \beta^2) < 0$ . Данное неравенство означает, что поле моды МОВ экспоненциально убывает при удалении от боковой поверхности волокна. В результате затухание моды будет определяться поглощением излучения в средах [4]. В дальнейшем будем считать, что существенное поглощение имеет место только в оболочке волокна.

Ниже представлены результаты исследования МОВ, волноведущие области которых образованы гексагональными кольцами одинаковых воздушных включений радиусом  $a$  в оболочке. Число колец равно  $N_C$  (на рис. 2



**Рис. 3.** Дисперсионные зависимости для основной моды МОВ (1–4) и для вытекающих мод полимерного покрытия (5–13). Кривая 1 —  $\text{Im}\beta(\lambda)$  при  $N_C = 3$ , 2 —  $\text{Im}\beta(\lambda)$  при  $N_C = 2$ , 3 и 4 —  $\text{Re}\beta(\lambda)$  при  $N_C = 3$  и 2 (в масштабах рисунка кривые 3 и 4 совпадают), 5–13 —  $\text{Re}h(\lambda)$  (в парах кривых 5–13 левая кривая соответствует  $TM$ -, правая —  $TE$ -моды).

$N_C = 3$ ). Расчеты выполнены для МОВ с параметрами  $a_l = 1.43 \mu\text{m}$  ( $l = \overline{1, n}$ ),  $\Lambda = 8.54 \mu\text{m}$ ,  $A = 61.5 \mu\text{m}$  (см. Введение) при значениях диэлектрических проницаемостей  $\epsilon_a = \epsilon_l = 1 - i0$  ( $l = \overline{1, n}$ ),  $\epsilon_s = 2.12 - i0$ ,  $\epsilon_c = 2.3716 - i6.16 \cdot 10^{-5}$  (два последних значения являются средними по диапазону  $0.6 < \lambda < 0.8 \mu\text{m}$  для кварцевого стекла и полимерного покрытия, использованных при создании МОВ, упомянутого во Введении).

Из соображений наглядности рассмотрим вначале модовые характеристики МОВ с покрытием сравнительно небольшой толщины  $D = B - A = 20 \mu\text{m}$ . Они представлены в таблице и на рис. 3, 4. Строки 1–4 таблицы соответствуют основной моде МОВ с  $N_C = 3$  и дают представление о сходимости развитой расчетной схемы. Как видно из таблицы, для получения прецизионных данных достаточно выбрать порядок редукции рядов (4)–(6)  $m \geq 9$ . Строки 5, 6 таблицы соответствуют двум наиболее слабо затухающим высшим модам волокна. Согласно таблице, коэффициенты затухания высших

Постоянные распространения основной ( $N = \overline{1, 4}$ ) и высших ( $N = 5, 6$ ) мод МОВ с полимерным покрытием толщины  $D = 20 \mu\text{m}$  при  $\lambda = 0.8 \mu\text{m}$

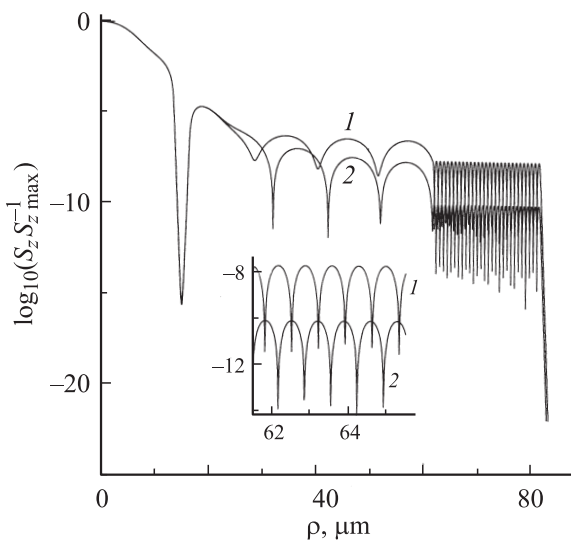
N	m	$\text{Re}(k_0^{-1}\beta)$	$\text{Im}(k_0^{-1}\beta)$
1	5	1.455 566 511	$-1.897 \cdot 10^{-12}$
2	7	1.455 556 511	$-3.338 \cdot 10^{-12}$
3	9	1.455 556 511	$-3.541 \cdot 10^{-12}$
4	11	1.455 556 511	$-3.541 \cdot 10^{-12}$
5	11	1.455 980 524	$-8.162 \cdot 10^{-9}$
6	11	1.455 983 780	$-7.902 \cdot 10^{-9}$

мод превосходят коэффициент затухания основной моды примерно на три порядка. Это объясняется более сильным взаимодействием высших мод с поглощающим покрытием, поскольку поля основных мод сосредоточены главным образом в пределах внутреннего кольца включений, а поля высших мод — между включениями и покрытием [9]. Данная особенность позволяет считать исследуемые МОВ квазиодномодовыми и судить об их пропускании по коэффициенту затухания основной моды  $\text{Im}\beta$ .

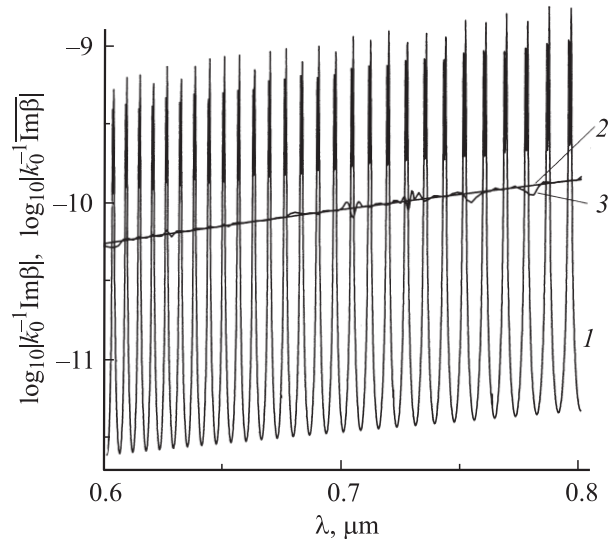
Кривыми 1 и 3 на рис. 3 представлены дисперсионные зависимости для основной моды МОВ с  $N_C = 3$ . В отличие от случая стандартных регулярных волокон приведенная зависимость  $\text{Im}\beta(\lambda)$  является квазипериодической. Максимумы функции  $|\text{Im}\beta(\lambda)|$  соответствуют максимумам относительной мощности моды в поглощающем покрытии МОВ. Это видно из рис. 4, где сопоставлены распределения  $S_z(\rho)$ , относящиеся к соседним максимуму ( $\lambda = 0.7146 \mu\text{m}$ ) и минимуму ( $\lambda = 0.7024 \mu\text{m}$ ) функция  $|\text{Im}\beta(\lambda)|$ . Здесь  $S_z$  —  $z$ -составляющая вектора Пойнтинга для основной моды МОВ с главной компонентой магнитного поля  $H_x$  (о поляризации мод МОВ см. в [5]).

Кривые 2 и 4 на рис. 3 относятся к МОВ с  $N_C = 2$ . Их вид позволяет заключить, что изменение внутренней структуры МОВ практически не влияет на период колебаний функции  $\text{Im}\beta(\lambda)$ . При этом существенный рост затухания моды, сопровождающий переход от  $N_C = 3$  к  $N_C = 2$  можно объяснить усилением вытекания излучения из волноводного канала [10].

Как показали расчеты, существенная модификация зависимости  $\text{Im}\beta(\lambda)$  наблюдается при изменении толщины поглощающего покрытия  $D$ . Данная функция остается квазипериодической при различных значениях  $D$ , однако по мере увеличения  $D$  частота колебаний функции



**Рис. 4.** Радиальные распределения плотности мощности основной моды МОВ с  $N_C = 3$  при  $\varphi = 0.5\pi$ . Кривая 1 соответствует  $\lambda = 0.7146$ , 2 —  $\lambda = 0.7024 \mu\text{m}$ .



**Рис. 5.** Спектральные зависимости коэффициента затухания  $\text{Im}\beta$  основной моды МОВ с  $N_C = 3$  при толщинах поглощающего покрытия  $D = 67.5 \mu\text{m}$  (1),  $D = \infty$  (2) и усредненного коэффициента затухания этой моды  $\overline{\text{Im}\beta}$  при  $0.7 \mu\text{m} \leq \sigma \leq 1.5 \mu\text{m}$  (3).

$\text{Im}\beta(\lambda)$  возрастает, а их амплитуда убывает. Эти особенности видны из сопоставления кривой 1 на рис. 3 и кривых 1, 2 на рис. 5 (подробно рис. 5 обсуждается ниже).

## Интерпретация результатов

Можно предположить, что отмеченная выше квазипериодичность функций  $\text{Im}\beta(\lambda)$  вызвана резонансной связью основной моды МОВ с модами поглощающего покрытия. Хорошо известно, что для реализации такой связи необходимо выполнение условия фазового синхронизма [13]

$$\text{Re } h = \text{Re } \beta, \quad (31)$$

где  $h$  — постоянная распространения моды покрытия,  $\beta$  — постоянная распространения основной моды МОВ.

С целью вычисления значений  $h$  заметим, что с точки зрения геометрической оптики поле основной моды оптического волокна формируется меридиональными лучами [13]. При рассмотрении отражения таких лучей от покрытия последнее может быть приближенно заменено плоскопараллельным слоем толщины  $D$ . В этом приближении под модами покрытия следует понимать моды плоского диэлектрического волновода. Постоянные распространения  $h$  этих мод подчиняются дисперсионному уравнению [14]

$$\left[ \frac{\gamma_a}{\sigma} \begin{pmatrix} \varepsilon_c \\ \varepsilon_a \end{pmatrix}^T - \frac{\sigma}{i\gamma_s} \begin{pmatrix} \varepsilon_s \\ \varepsilon_c \end{pmatrix}^T \right] \sin(\sigma D) + \left[ 1 + \frac{\gamma_a}{i\gamma_s} \begin{pmatrix} \varepsilon_s \\ \varepsilon_c \end{pmatrix}^T \right] \cos(\sigma D) = 0, \quad (32)$$

где  $T = 0$  для  $TE$ -мод,  $T = 1$  — для  $TM$ -мод,

$$\gamma_a = \sqrt{h^2 - \varepsilon_a k_0^2}, \quad \gamma_s = \sqrt{k_0^2 \varepsilon_s - h^2}, \quad \sigma = \sqrt{k_0^2 \varepsilon_c - h^2}.$$

Для упрощения уравнения (32) учтем, что постоянные распространения основных мод МОВ, как правило, удовлетворяют неравенствам [15]

$$\operatorname{Re} \varepsilon_s > k_0^{-2} \operatorname{Re} \beta^2, \quad (33)$$

$$(\operatorname{Re} \varepsilon_c - k_0^{-2} \operatorname{Re} \beta^2)(\operatorname{Re} \varepsilon_s - k_0^{-2} \operatorname{Re} \beta^2)^{-1} \gg 1, \quad (34)$$

$$(k_0^{-2} \operatorname{Re} \beta^2 - \operatorname{Re} \varepsilon_a)(\operatorname{Re} \varepsilon_s - k_0^{-2} \operatorname{Re} \beta^2)^{-1} \gg 1. \quad (35)$$

В частности, неравенство (33) означает, что уравнение (31) может быть выполнено только для мод покрытия, вытекающих в оболочку волокна.

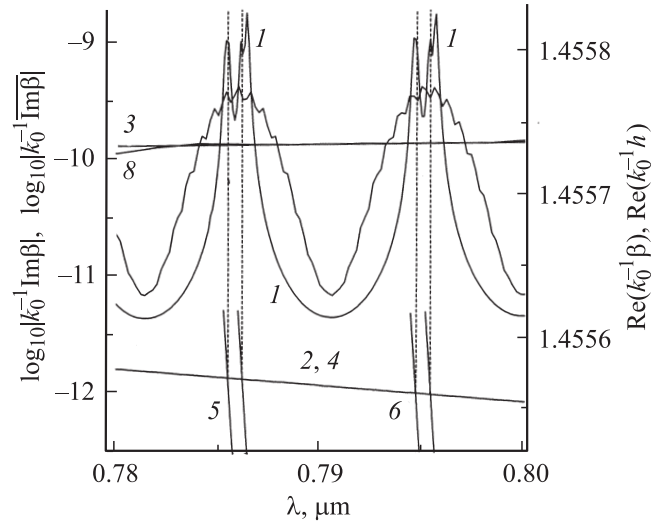
Если пренебречь малыми мнимыми частями величин  $h$ ,  $\varepsilon_c$ ,  $\varepsilon_s$ ,  $\varepsilon_a$  и, учитывая условия (31), (34), (35), заменить в (32)  $h^2$  на  $k_0^2 \varepsilon_s$ , то уравнение (32) можно приближенно записать в виде

$$\frac{D}{\lambda} = \left( 2\pi \sqrt{\operatorname{Re} \varepsilon_c - \operatorname{Re} \varepsilon_s} \right)^{-1} \left[ \operatorname{tg}^{-1} \left( \frac{\gamma_a}{\sigma} \left( \frac{\varepsilon_c}{\varepsilon_a} \right)^T \right) + n\pi \right] \\ (n = 0, 1, \dots). \quad (36)$$

Выражение (36) определяет длины волн, при которых основная мода МОВ может эффективно возбудить моду поглощающего покрытия. Очевидно, что такое возбуждение приведет к резкому возрастанию доли мощности моды МОВ, распространяющейся по поглощающему покрытию. Таким образом, можно ожидать, что максимумы функции  $|\operatorname{Im} \beta(\lambda)|$  будут наблюдаться в окрестности значений  $\lambda$ , определяемых из (36). Более точно резонансные длины волн могут быть найдены из системы уравнений (31), (32), где зависимость  $\operatorname{Re} \beta(\lambda)$  рассчитывается изложенным выше методом.

О корректности представленных соображений позволяло судить кривые 1–13 на рис. 3. Здесь максимумы функции  $|\operatorname{Im} \beta(\lambda)|$  наблюдаются при значениях длин волн, которые с высокой точностью соответствуют точкам пересечения зависимостей  $\operatorname{Re} \beta(\lambda)$  и  $\operatorname{Re} h(\lambda)$  (последние зависимости рассчитаны путем решения уравнения (32) методом контурного интегрирования [14]). Аналогичная ситуация имеет место и в случае волокна с толщиной покрытия  $D = 67.5 \mu\text{m}$ . Детально она иллюстрируется на рис. 6, который относится к МОВ с  $N_C = 3$ .

Заметим, что длины волн, рассчитанные из приближенной формулы (36), несколько отличаются от наблюдаемых резонансных значений. Например, соседние максимумы кривой 1 на рис. 6 имеют место при  $\lambda = 0.7946 \mu\text{m}$  и  $0.7957 \mu\text{m}$ , а формула (36) приводит (при  $n = 85$ ) к значениям  $\lambda = 0.7926 \mu\text{m}$  для  $TM$ -моды и  $\lambda = 0.7933 \mu\text{m}$  для  $TE$ -моды. Тем не менее приближение (36) дает корректный порядок расстояния  $\Delta\lambda$  между соседними максимумами функции  $|\operatorname{Im} \beta(\lambda)|$ , связанными с возбуждением мод покрытия одной и той



**Рис. 6.** Дисперсионные зависимости для основной моды МОВ (1–4) и для вытекающих мод полимерного покрытия (5, 6), а также спектральные зависимости усредненного коэффициента затухания основной моды МОВ (7, 8). Кривая 1 —  $\operatorname{Im} \beta(\lambda)$ , 2 —  $\operatorname{Re} \beta(\lambda)$  при  $D = 67.5 \mu\text{m}$ ; 3 —  $\operatorname{Im} \beta(\lambda)$ , 4 —  $\operatorname{Re} \beta(\lambda)$  при  $D = \infty$  (в масштабах рисунка кривые 2 и 4 совпадают); 5, 6 —  $\operatorname{Re} h(\lambda)$  (в парах кривых 5, 6 левая кривая соответствует  $TM$ -, правая —  $TE$ -моду); 7 —  $\operatorname{Im} \beta(\lambda)$  при  $\sigma = 0.14 \mu\text{m}$ , 8 —  $\operatorname{Im} \beta(\lambda)$  при  $0.7 \mu\text{m} \leq \sigma \leq 1.5 \mu\text{m}$ .

же поляризации. В частности, для зависимости 1 на рис. 6 имеем  $\Delta\lambda = 0.0093 \mu\text{m}$ , тогда как, согласно (36),  $\Delta\lambda = 0.0092 \mu\text{m}$ .

В соответствии с (36) значение  $\Delta\lambda$  может быть оценено по формуле

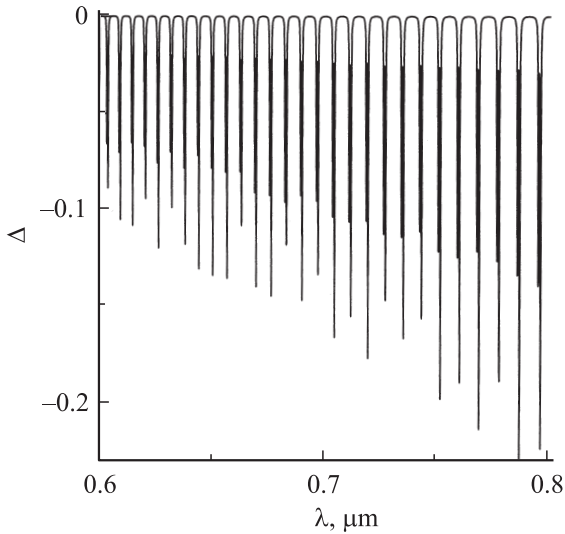
$$\Delta\lambda \approx \lambda^2 \left( 2D \sqrt{\operatorname{Re} \varepsilon_c - \operatorname{Re} \varepsilon_s} \right)^{-1}. \quad (37)$$

Выражение (37) очевидным образом объясняет отмеченное выше возрастание частоты колебаний функции  $\operatorname{Im} \beta(\lambda)$  при увеличении толщины поглощающего покрытия. Параллельное уменьшение амплитуды колебаний этой функции можно связать с тем, что при  $D \rightarrow \infty$  покрытие утрачивает волноводные свойства. В частности, из (31), (32), (34) можно заключить, что при выполнении неравенства

$$D \operatorname{Im} \sigma \approx k_0 D \operatorname{Im} \varepsilon_c (\operatorname{Re} \varepsilon_c - \operatorname{Re} \varepsilon_s)^{-0.5} > 2 \quad (38)$$

покрытие волокна становится эквивалентным бесконечной поглощающей среде, поскольку излучение основной моды МОВ практически не достигает его внешней границы  $\rho = B$ . Как показали расчеты, графики зависимостей  $|\operatorname{Im} \beta(\lambda)|$ , соответствующие значениям  $D$ , удовлетворяющим неравенству (38), не отличаются (в принятых масштабах) от кривой 2 на рис. 5.

Таким образом, все отмеченные выше особенности расчетных зависимостей  $\operatorname{Im} \beta(\lambda)$  и распределений поля основной моды МОВ могут быть объяснены резонанс-



**Рис. 7.** Расчетный спектр пропускания МОВ с поглощающим полимерным покрытием.

ной связью этой моды с вытекающими модами поглощающего покрытия волокна.

Сопоставим теперь расчетный и экспериментальный (упомянутый во Введении) спектры пропускания МОВ. Нами рассчитана функция пропускания МОВ  $\Delta(\lambda)$  по формуле

$$\Delta(\lambda) = 10 \log_{10} \{ I(\lambda) [I(0.7 \mu\text{m})]^{-1} \} \\ = 20L [\text{Im} \beta(\lambda) - \text{Im} \beta(0.7 \mu\text{m})] (\ln 10)^{-1}, \quad (39)$$

где в качестве  $\text{Im} \beta(\lambda)$  использована зависимость, представленная кривой  $I$  на рис. 5.

Расчетный график зависимости (39) приведен на рис. 7. Он плохо согласуется с экспериментальной кривой на рис. 1. В частности, средние периоды колебаний теоретической и экспериментальной функций  $\Delta(\lambda)$  различаются примерно в семь раз. Ввиду высокой точности расчетов данное расхождение можно объяснить только несоответствием теоретической модели экспериментальной ситуации.

Основная причина этого несоответствия и того, что до сих пор в публикациях по исследованию регулярных МОВ эффект квазипериодичности в спектрах их пропускания не отмечался, видимо, в непостоянстве толщины поглощающих покрытий экспериментальных образцов волокон по их длине. Действительно, как следует из (36), если толщина покрытия испытывает приращение порядка

$$\Delta D = \lambda \left( 4 \sqrt{\text{Re} \varepsilon_c - \text{Re} \varepsilon_s} \right)^{-1},$$

то коэффициент затухания основной моды МОВ изменится от максимального до минимального значения. Следовательно, можно ожидать, что выраженный эффект квазипериодичности в спектрах пропускания МОВ с поглощающими покрытиями будет наблюдаться при

выполнении неравенства

$$|D(z) - \bar{D}| \ll \Delta D, \quad (40)$$

где  $D(z)$  — толщина покрытия вдоль волокна,  $\bar{D}$  — ее среднее значение. При  $\lambda = 0.7 \mu\text{m}$  и указанных выше значениях  $\varepsilon_c$  и  $\varepsilon_s$  имеем  $\Delta D = 0.35 \mu\text{m}$ . В то же время разброс значений толщины полимерного покрытия по длине волокна, использованного в нашем эксперименте, составлял около  $1 \mu\text{m}$ , т. е. данное волокно не удовлетворяло критерию (40).

Для количественного исследования влияния колебаний толщины покрытия на пропускание МОВ при фиксированном значении  $\lambda$  предположим, что пропускание определяется затуханием основной моды волокна. Тогда интенсивность излучения  $I$  на выходе отрезка волокна длины  $L$  может быть приближенно оценена по формуле

$$I = KI_0 \exp(2\overline{\text{Im} \beta} L),$$

где  $K$  — коэффициент, учитывающий френелевское отражение света на торцах волокна,  $I_0$  — интенсивность излучения, подаваемого на вход волокна,

$$\overline{\text{Im} \beta} = L^{-1} \int_0^L \text{Im} \beta(z) dz \quad (41)$$

— средний коэффициент затухания моды. Допустим, что зависимость  $\text{Im} \beta$  от координаты  $z$  обусловлена колебаниями толщины поглощающего покрытия вдоль волокна ( $\text{Im} \beta(z) = \text{Im} \beta[D(z)]$ ) и что процесс колебаний  $D(z)$  является случайным, стационарным и эргодическим. Тогда при достаточно большом значении  $L$  операция усреднения (41) может быть заменена усреднением коэффициента затухания моды по ансамблю идентичных МОВ с различными фиксированными значениями толщины покрытия [16]. В результате получим оценку

$$\overline{\text{Im} \beta} = \int_{-\infty}^{\infty} \text{Im} \beta(D) W(D) dD, \quad (42)$$

где  $W(D)$  — плотность вероятности значения  $D$  (функция  $W(D)$  предполагается быстро спадающей при удалении  $D$  от  $\bar{D}$ , поэтому пределы интегрирования в (42) распространены до бесконечности).

Была исследована зависимость  $\overline{\text{Im} \beta}(\lambda)$  на основании (42), где функция  $\text{Im} \beta(D, \lambda)$  рассчитывалась изложенным выше методом, а распределение  $W(D)$  предполагалось нормальным ( $W(D) = (\sigma \sqrt{2\pi})^{-1} \exp[-(D - \bar{D})^2 (2\sigma^2)^{-1}]$ , где  $\sigma$  — среднеквадратичное отклонение  $D$ ). Полученные результаты, относящиеся к МОВ с  $N_C = 3$ ,  $\bar{D} = 67.5 \mu\text{m}$  и соответствующие различным значениям  $\sigma$  из диапазона  $0.7 \mu\text{m} \leq \sigma \leq 1.5 \mu\text{m}$ , представлены на рис. 6. Здесь выраженные колебания функции  $|\overline{\text{Im} \beta}(\lambda)|$  наблюдаются при  $\sigma \leq 0.14 \mu\text{m}$ . В то же время при  $0.7 \leq \sigma \leq 1.5 \mu\text{m}$

интегрирование в (42) приводит к существенному сглаживанию распределений  $\text{Im}\beta(\lambda)$ .

В масштабах рис. 6 графики функций  $|\overline{\text{Im}\beta(\lambda)}|$ , соответствующие различным значениям  $\sigma$  из указанного диапазона, неотличимы друг от друга. При этом они близки к графику функции  $|\text{Im}\beta(\lambda)|$ , рассчитанному для МОВ с покрытием бесконечной толщины. Данные особенности наблюдаются и в более широком диапазоне длин волн (рис. 5). Но здесь можно отметить периодические отклонения зависимости  $|\overline{\text{Im}\beta(\lambda)}|$  от монотонной функции  $|\text{Im}\beta(\lambda)|$ , соответствующей  $D \rightarrow \infty$ . Средний период этих отклонений составляет приблизительно  $0.03 \mu$ . Это значение сопоставимо со средним периодом колебаний экспериментальной кривой на рис. 1, который может быть оценен как  $0.5 \mu\text{m}$ . Однако теоретическая (рассчитанная по формуле (39) после замены в ней  $\text{Im}\beta(\lambda) \rightarrow \overline{\text{Im}\beta(\lambda)}$ ) и экспериментальная зависимости  $\Delta(\lambda)$  находятся в разных диапазонах изменения  $\Delta$  (теоретическая функция  $\Delta(\lambda)$ , соответствующая кривой 3 на рис. 5, заключена в пределах  $-0.01 < \Delta(\lambda) < 0.01$ , тогда как, согласно рис. 1,  $-6 < \Delta(\lambda) < 2.6$ ). По нашему мнению, это расхождение вызвано рассеянием света на дефектах внутренней структуры экспериментального волокна, приводящим к существенно более сильному, нежели расчетное, затуханию его основной моды.

## Заключение

Таким образом, МОВ с поглощающими покрытиями конечной толщины могут обладать квазипериодическими спектрами пропускания. Природа этих спектров объясняется вытеканием основной моды МОВ из волноводного канала, приводящим к резонансной связи этой моды с модами покрытия. Значения постоянных распространения мод покрытия, определяющие спектральную зависимость коэффициента затухания основной моды МОВ  $\text{Im}\beta(\lambda)$ , весьма чувствительны к параметрам покрытия, контактирующего с окружающей средой. Данное свойство вкупе с квазипериодическим характером функции  $\text{Im}\beta(\lambda)$ , облегчающим регистрацию ее вариаций, может быть использовано в эффективных волоконно-оптических датчиках показателя преломления, давления, и т.д. Параметры соответствующих устройств могут изменяться в широких пределах за счет модификации внутренней структуры МОВ и толщины покрытия. Например, из рис. 3 следует, что, изменяя число гексагональных колец воздушных каналов, ограничивающих волноведущую область МОВ, можно на несколько порядков изменять среднее затухание основной моды МОВ, а значит, длину рабочего участка датчика и чувствительность измерений. Проектирование таких устройств может быть выполнено на основе развитого в данной работе метода интегральных уравнений.

Следует также отметить, что, согласно представленным оценкам, для получения выраженного эффекта

квазипериодичности в спектрах пропускания МОВ необходима стабильная толщина поглощающего покрытия вдоль волокна. В настоящее время технология нанесения таких покрытий обрабатывается.

## Список литературы

- [1] White T.P., Kuhlmeiy B.T., McPhedran R.C., Mystre D., Renversez G., De Sterke C.M., Botten L.G. // J. Opt. Soc. Am. B. 2002. Vol. 19. N 10. P. 2322–2330.
- [2] Kuhlmeiy B.T., White T.P., Renversez G., Maystre D., Botten L.G., De Sterke C.M., McPhedran R.C. // J. Opt. Soc. Am. B. 2002. Vol. 19. N 10. P. 2331–2340.
- [3] Сотский А.Б., Сотская Л.И. // Письма в ЖТФ. 2003. Т. 29. Вып. 18. С. 37–45.
- [4] Sotsky A.B., Sotshaya L.I. // Opt. Commun. 2004. Vol. 230. P. 67–79.
- [5] Сотский А.Б., Сотская Л.И. // ЖТФ. 2004. Т. 74. Вып. 2. С. 32–40.
- [6] Szpula M., Urbanczyk W., Serebryannikov E. et al. // Opt. Express. 2006. Vol. 14. N 12. P. 9699–9714.
- [7] Del Villar I., Arregui F.J., Matias I.R. et al. // Opt. Express. 2007. Vol. 15. N 15. P. 9326–9340.
- [8] Martynkien T., Olszewski J., Szpula M. et al. // Opt. Express. 2007. Vol. 15. N 21. P. 13 547–13 556.
- [9] Minkovich V.P., Monzon-Hernandez D., Villatoro J. et al. // J. Lightwave Technol. 2006. Vol. 24. N 11. P. 4319–4328.
- [10] Minkovich V.P., Kir'yanov A.V., Sotsky A.B., Sotskaya L.I. // J. Opt. Soc. Am. B. 2004. Vol. 21. N 6. P. 1161–1169.
- [11] Абрамовиц М., Стиган И. Справочник по специальным функциям. М.: Наука, 1979. 830 с. (Abramowitz M., Stegun I.A. Handbook of mathematical functions. National bureau of standards, 1964.)
- [12] Крылов В.И., Бобков В.В., Монастырный П.И. Вычислительные методы. Т. II. М.: Наука, 1977. 399 с.
- [13] Снайдер А., Лав Дж. Теория оптических волноводов. М.: Радио и связь, 1987. 656 с. (Snyder A.W., Love J.D. Optical waveguide theory. London–NY: Chapman and Hall, 1983.)
- [14] Романенко А.А., Сотский А.Б. // ЖТФ. 1998. Т. 68. Вып. 4. С. 88–95.
- [15] Bjarklev A., Broeng J., Bjarklev A.S. Photonic crystal fibres. Boston–Dordrecht–London: Kluwer Academic Publishers, 2003. 298 p.
- [16] Бендат Дж., Пирсол А. Прикладной анализ случайных данных: М.: Мир, 1989. 540 с.